



## Comparative application of time series models in rainfall forecasting of West Azerbaijan province

Saeed jahanbakhshasl<sup>1</sup> | Ali mohammadkhorshiddoust<sup>2✉</sup> | Fatemeh abbasighasrik<sup>3</sup> | Zahra abbasighasrik<sup>4</sup>

1. Professor, Department of climatology, University of Tabriz, Tabriz, Iran.  
**Email: [jahanbakhshsaeed@yahoo.com](mailto:jahanbakhshsaeed@yahoo.com)**
2. Corresponding author, Professor, Department of climatology, University of Tabriz, Tabriz, Iran.  
**Email: [khoshid@tabrizu.ac.ir](mailto:khoshid@tabrizu.ac.ir)**
3. Master of Meteorology and climatology, University of Tabri, Tabriz, Iran.  
**Email: [f.abbasighasrik@gmail.com](mailto:f.abbasighasrik@gmail.com)**
4. Master of Meteorology and climatology, University of Tabriz, Tabriz, Iran.  
**Email: [z.abbasighasrik@gmail.com](mailto:z.abbasighasrik@gmail.com)**

Article Info	ABSTRACT
<p><b>Article type:</b> Research Article</p> <p><b>Article history:</b> Received 2021/02/06 Received in revised 2021/04/28 Accepted 2021/05/26 Published 2021/05/29 Published online 2024/01/21</p> <p><b>Keywords:</b> Precipitation, Time Series Models, Man-Kendall, Health Winters model, West Azerbaijan Province.</p>	<p>Assessing and predicting future climate change is of particular importance due to its adverse effects on water resources and the natural environment, as well as its environmental, economic and social effects. Meanwhile, rainfall is also an important climatic element that causes a lot of damage in excess conditions. West Azerbaijan Province is no exception. The aim of this study is to model and predict 30 years of rainfall in West Azerbaijan province. The statistical period studied is 32 years (2019-1987). Selected stations in the province include Urmia, Piranshahr, Takab, Khoy, Sardasht, Mahabad and Mako stations. Average slider time series models, Sarima (seasonal Arima), Health Winters were used for analysis and prediction and also linear regression and Mann-Kendall test were used to determine the data trend. The results show an increasing trend of precipitation in Urmia, Piranshahr, Khoy, Sardasht and Mako stations and a decreasing trend in Takab and Mahabad stations. According to the results of comparing the models used, the Health Winters model with the least error in the absolute mean of deviations, mean squared deviations and the percentage of absolute mean errors was introduced as the best precipitation forecasting model for West Azerbaijan province.</p>

**Cite this article:** jahanbakhshasl, Saeed., mohammadkhorshiddoust, Ali., abbasighasrik, Fatemeh., & abbasighasrik, Zahra. (2025). Comparative application of time series models in rainfall forecasting of West Azerbaijan province. *Journal of Applied Researches in Geographical Sciences*, 75 (24), 98-115. DOI: <http://dx.doi.org/10.61186/jgs.24.75.10>



© The Author(s). Publisher: Kharazmi University.  
DOI: <http://dx.doi.org/10.61186/jgs.24.75.10>



## Extended Abstract

### Introduction

The increase in greenhouse gases during climate interactions ultimately leads to increased evaporation from the sea surface, followed by an increase in humidity and changes in the amount of precipitation worldwide, known as climate change. Meanwhile, one of the effects of climate change is its impact on rainfall patterns. Therefore, since meteorological factors such as rainfall are the most significant elements influencing the control and management of limited water resources, it is necessary to have a more accurate understanding in order to plan and optimize water resource management. Precipitation plays a vital role in the management of various agricultural and industrial projects, and changes in its levels in future periods within each region are of utmost importance.

### Material and Methods

The research methodology employed in this study is primarily based on statistical analysis utilizing time series models. The precipitation data utilized in this study were obtained from the General Meteorological Organization. These data were initially converted from a daily format to monthly, quarterly, and yearly formats. Subsequently, the data were sorted, and statistical analysis was performed using Minitab and Xlstat software. Furthermore, ARC GIS software was employed to generate maps for visual representation. The selection of these specific meteorological stations was driven by the availability of comprehensive historical data spanning from 1987 to 2018, as well as their strategic geographical locations. To investigate and predict both seasonal and annual precipitation patterns at the selected stations, various time series models, including the average slider model, SARIMA (Seasonal ARIMA), Holt-Winters method, linear regression, and the Mann-Kendall test were applied.

### Results and Discussion

The average slip model indicates a decreasing trend of precipitation in the studied stations, with the exception of spring, which shows a noticeable upward trend. Consequently, alternative models have been employed for prediction. The second model utilized for the study area is the Sarima model (seasonal Arima). The outcomes of this model demonstrate that the precipitation data exhibit consistent correlation across all sections, with a parallel correlation that is statistically significant at a 95% confidence level. The third model employed is the Health Winters model, which exhibits complete consistency between the fitted and predicted data, making them indistinguishable from one another. This indicates an increasing trend in annual precipitation for future periods. The linear regression test confirms the increasing trend of precipitation in the upcoming years and establishes the statistical significance of the data at a 95% confidence level. The Monkendall test, conducted at the 5% level, reveals an increasing trend of precipitation in Urmia, Piranshahr, Khoy, Sardasht, and Mako stations, while Takab and Mahabad stations exhibit a decreasing trend.



## Conclusion

Among the models utilized, the Health Winters model emerged as the most appropriate model for precipitation prediction in the study area, based on its significantly lower values of absolute mean errors, mean squared deviations, and absolute mean percentage of errors compared to other models. These findings align with the conclusions reached by Samandari (2018), Goodarzi and Roozbehani (2017), and Abdollahnejad (2015) in their respective research. While many researchers have advocated for the use of artificial neural network models for rainfall prediction and considered them as effective forecasting tools, this study aimed to explore an alternative model that had not been previously applied in the study area. The results of this research employing time series models further confirmed the suitability of the Health Winters model for precipitation prediction.

**Keywords:** Precipitation, Time Series Models, Man-Kendall, Health Winters model, West Azerbaijan Province

## References

- Abdollahnejad, Kamel, 2014, random time series models in forecasting monthly rainfall, Journal of Geographical Survey of Space - Golestan University Scientific Quarterly - 5th year - serial number 17, pp. 15-25.
- Goodarzi, Leila, Roozbahani, Abbas, 2015, investigation of the effectiveness of time series and Halt-Winters models in forecasting monthly temperature and precipitation (Letian), Irrigation Science and Engineering, Volume 40, Number 3.
- Samandari, Rabab (2017). Statistical analysis and prediction of the probability of heavy rains in the northwest of the country, master's thesis, under the guidance of Betoul Zinali and Broumand Salahi, Faculty of Literature and Human Sciences, Department of Geography, Mohaghegh Ardabili University.

## کاربرد تطبیقی مدل‌های سری زمانی در پیش‌بینی بارش استان آذربایجان غربی<sup>۱</sup>

سعید جهانبخش اصل<sup>۱</sup>، علی محمد خورشید دوست<sup>۲</sup>، فاطمه عباسی قصریک<sup>۳</sup>، زهرا عباسی قصریک<sup>۴</sup>

۱. استاد گروه آب‌وهواشناسی دانشگاه تبریز، تبریز، ایران رایانامه: [jahanbakhshsaeed@yahoo.com](mailto:jahanbakhshsaeed@yahoo.com)

۲. نویسنده مسئول، استاد گروه آب‌وهواشناسی دانشگاه تبریز، تبریز، ایران رایانامه: [khورشید@tabrizu.ac.ir](mailto:khورشید@tabrizu.ac.ir)

۳. کارشناسی ارشد آب‌وهواشناسی دانشگاه تبریز، تبریز، ایران. رایانامه: [f.abbasighasrik@gmail.com](mailto:f.abbasighasrik@gmail.com)

۴. کارشناسی ارشد آب‌وهواشناسی دانشگاه تبریز، تبریز، ایران. رایانامه: [z.abbasighasrik@gmail.com](mailto:z.abbasighasrik@gmail.com)

اطلاعات مقاله	چکیده
نوع مقاله: مقاله پژوهشی	ارزبایی و پیش‌بینی تغییرات اقلیمی در آینده به دلیل اثرات سوء آن بر منابع آبی و محیط طبیعی و همچنین دارا بودن اثرات زیست‌محیطی، اقتصادی و اجتماعی از اهمیت ویژه‌ای برخوردار است. در این میان، بارش نیز از عناصر مهم اقلیمی محسوب می‌شود که در شرایط مازاد، خسارات فراوانی را به بار می‌آورد. استان آذربایجان غربی نیز از این خسارات مستثنی نیست. هدف پژوهش حاضر مدل‌سازی و پیش‌بینی بارش ۳۰ ساله در استان آذربایجان غربی است. دوره آماری مورد مطالعه ۳۲ سال (۲۰۱۹-۱۹۸۷) می‌باشد. ایستگاه‌های منتخب در سطح استان شامل ایستگاه‌های ارومیه، پیرانشهر، تکاب، خوی، سردشت، مهاباد و ماکو می‌باشند. از مدل‌های سری‌زمانی میانگین لغزان، ساریما (آریمای فصلی)، هلت و وینترز برای تجزیه و تحلیل و پیش‌بینی استفاده شد و همچنین برای تعیین روند داده‌ها از رگرسیون خطی و آزمون من-کندال بهره گرفته شد. نتایج نشان‌دهنده روند افزایشی بارش در ایستگاه‌های ارومیه، پیرانشهر، خوی، سردشت و ماکو و روند کاهشی در دو ایستگاه تکاب و مهاباد می‌باشند. با توجه به نتایج حاصل از مقایسه مدل‌های مورد استفاده، مدل هلت و وینترز با دارای بودن حداقل خطا در میانگین مطلق انحرافات، میانگین مجذور انحرافات و درصد میانگین مطلق خطاها بهترین مدل پیش‌بینی بارش برای استان آذربایجان غربی معرفی شد.
تاریخ دریافت: ۱۳۹۹/۱۱/۱۸	
تاریخ بازنگری: ۱۴۰۰/۰۲/۰۸	
تاریخ پذیرش: ۱۴۰۰/۰۳/۰۵	
تاریخ انتشار: ۱۴۰۰/۰۳/۰۸	
تاریخ انتشار آنلاین: ۱۴۰۲/۱۱/۰۱	
کلیدواژه‌ها: پیش‌بینی بارش، مدل‌های سری‌زمانی، من-کندال، مدل هلت و وینترز، استان آذربایجان غربی.	

استناد: جهانبخش اصل، سعید؛ محمد خورشید دوست، علی؛ عباسی قصریک، فاطمه؛ و عباسی قصریک، زهرا (۱۴۰۳). کاربرد تطبیقی مدل‌های سری زمانی در پیش‌بینی بارش استان آذربایجان غربی. *نشریه تحقیقات کاربردی علوم جغرافیایی*، ۷۵

<http://dx.doi.org/10.61186/jgs.24.75.10> (۲۴)، ۹۸-۱۱۵



© نویسندگان.

ناشر: دانشگاه خوارزمی تهران.

<sup>۱</sup> این مقاله برگرفته از پایان‌نامه کارشناسی ارشد تحت عنوان کاربرد تطبیقی مدل‌های سری زمانی در پیش‌بینی بارش استان آذربایجان غربی می‌باشد که از محل اعتبارات معاونت پژوهشی دانشگاه تبریز، دانشکده برنامه ریزی و علوم محیطی تهیه شده است.

## مقدمه

افزایش گازهای گلخانه‌ای طی واکنش‌های متقابل اقلیمی، در نهایت موجب افزایش تبخیر از سطح دریاها و به دنبال آن افزایش رطوبت و تغییر در مقادیر بارش در سطح جهان می‌شود که تحت عنوان تغییر اقلیم شناخته شده است. بدین ترتیب یکی از اثرات تغییرات اقلیمی تأثیر آن در رژیم‌های بارشی است. شناخت توزیع زمانی و مکانی، شدت و دوام و عوامل مؤثر بر بارش نه تنها از لحاظ اقلیم‌شناسی اهمیت دارد، بلکه به لحاظ برنامه‌ریزی‌های اقتصادی، کشاورزی و هیدرولوژیکی و ... از ارزش شایان توجهی برخوردار است. با توجه به آن که بارش از عناصری است که در معرض تأثیرات ناشی از تغییرات اقلیم قرار دارد، بررسی تغییرات آن در سال‌های آینده می‌تواند راهگشای معضلاتی چون سیلاب‌های ناگهانی، خشک‌سالی‌های شدید و غیره شود. از آنجایی که عناصر هواشناسی از جمله بارش مهم‌ترین عنصر تأثیرگذار بر نحوه‌ی کنترل و مدیریت منابع محدود آبی می‌باشند. به‌منظور برنامه‌ریزی و مدیریت بهینه منابع آب نیاز به شناخت دقیق‌تر از آن وجود دارد. بارش از عوامل مهم در مدیریت انواع پروژه‌های کشاورزی و صنعتی بوده و تغییرات مقادیر آن در دوره‌های آبی در هر منطقه از اهمیت بالایی برخوردار است. با توجه به ویژگی‌های خاص مکانی، موقعیت جغرافیایی، شرایط توپوگرافی، انطباق و با هم‌بینی تغییرات مکانی و زمانی و هر منطقه تهیه نقشه کمک شایانی به برنامه‌ریزی‌های محیطی جامع‌تر خواهد نمود محمدخورشیددوست و همکاران (۱۳۹۶). تحقیقات زیادی برای پیش‌بینی بارش توسط پژوهشگران داخلی و خارجی صورت گرفته است، از جمله جهانبخش و قویدل (۱۳۸۲) با استفاده از سری زمانی تجزیه، روند خطی و پولینومینال و شاخص مک کال خشک‌سالی‌های حوضه آبریز دریاچه ارومیه را پیش‌بینی کرده‌اند نتایج نشان داد که وجود نوسان‌های شدید بارش سالانه در وقوع خشک‌سالی در اکثر ایستگاه‌ها قابل پیش‌بینی است. حلبیان و دارند (۱۳۹۱) با استفاده از شبکه عصبی مصنوعی بارش اصفهان را پیش‌بینی کرده‌اند نتایج نشان‌دهنده این است شبکه عصبی مصنوعی به‌خوبی رابطه غیرخطی بین مقادیر ماهانه بارش را پیش‌بینی می‌کند. نبوی‌زاده (۱۳۹۲) پیش‌بینی بارش روزانه ایستگاه کرمان را با استفاده از شبکه عصبی مصنوعی انجام داد و نتیجه گرفت که با افزایش مؤلفه‌های مؤثر ورودی، شبکه دقت بالاتری را در پیش‌بینی بارش نشان می‌دهد. میرموسوی و همکاران (۱۳۹۳) با استفاده از روش‌های آماری و مدل آریما تحلیل سری زمانی را برای ایستگاه خوی انجام داده‌اند نتایج نشان داد که الگوی آریما، الگوی برتری برای پیش‌بینی بارش سالانه می‌باشد. محمد خورشیددوست و همکاران (۱۳۹۷) پیش‌بینی بارش‌های سنگین سواحل جنوبی دریای خزر را با استفاده از مدل Lars-wg انجام دادند نتیجه نشان‌دهنده افزایش بارندگی‌های ۱۰، ۲۰ و ۲۵ میلی‌متری در سال‌های آتی است و ایستگاه انزلی بیشترین تعداد روزهای همراه با بارش را خواهند داشت. رباب سمندری (۱۳۹۷) با استفاده از مدل هلت وینترز بارش سنگین شمال غرب کشور را پیش‌بینی کرده‌اند و نتایج تحقیق نشان داد این مدل برای پیش‌بینی بارش مدل مناسبی است. سلگی و همکاران (۱۳۹۷) با استفاده از مدل‌های برنامه‌ریزی ژن و ماشین برداری رگرسیونی بارش ماهانه نهادند را پیش‌بینی کردند نتایج نشان داد مدل برنامه‌ریزی ژن برای پیش‌بینی بارش ماهانه ایستگاه وراینه در شهرستان نهاوند مناسب است. هاستیرانس و گریسچار (۱۹۹۵)<sup>۲</sup> ریزش‌های جوی تابستانه جنوب آفریقا را با استفاده از شبکه عصبی مصنوعی موردبررسی قرار داده و نتیجه گرفتند که تجزیه و تحلیل بارش در ارتباط با شاخص نوسان جنوبی تنها با روند غیرخطی شبکه‌های عصبی مصنوعی قابل پیش‌بینی است.

بورلندا و مانتانا (۱۹۹۶)<sup>۳</sup> با استفاده از مدل‌های آریما پیش‌بینی بارندگی‌های ساعتی در زمان وقوع آن‌ها و مقایسه با داده‌های باران‌سنجی را انجام دادند نتایج نشان داد که با افزایش مدت دوام بارندگی، پیش‌بینی‌ها روند دقیق‌تری داشته و با کوتاه‌تر شدن دوام بارندگی، اختلاف میزان باران پیش‌بینی شده از مقادیر واقعی متناظر خود بیشتر می‌شود. چوی (۱۹۹۹)<sup>۴</sup> پیش‌بینی بارش را با استفاده از مدل شبکه عصبی مصنوعی و سیستم اطلاعات جغرافیایی بررسی کرد و نتیجه نشان داد هر دو مدل کارایی بهتری برای پیش‌بینی بارش دارند. آستین (۲۰۰۱)<sup>۵</sup> پیش‌بینی بارش فصلی نیجریه را با استفاده از رگرسیون

<sup>2</sup>. Hastenrath & Greischar

<sup>3</sup>. Borlanda & Montana

<sup>4</sup>. Choi

<sup>5</sup>. Astine

چندگانه بررسی کرد و نشان داد که همبستگی بالا بین مقادیر مشاهده شده و پیش‌بینی شده وجود دارد و مدل رگرسیون چندگانه مدل مناسبی برای پیش‌بینی بارش این کشور است. هالید و رید (۲۰۰۲)<sup>۶</sup> با استفاده از روش‌های منطق فازی مدل‌سازی و پیش‌بینی بارش محلی ماه ژانویه در فرودگاه زانودین آندونزی را دادند. ماریا و همکاران (۲۰۰۵)<sup>۷</sup> با استفاده از شبکه عصبی مصنوعی و مدل رگرسیونی پیش‌بینی بارش سائوپولو برزیل را انجام داده‌اند. نتایج نشان داد که هر دو مدل برای پیش‌بینی مناسب هستند.

پارنال و کاهیا (۲۰۰۵)<sup>۸</sup> با استفاده از تجزیه و تحلیل سری‌های زمانی بارش ماهانه ترکیه را در بازه زمانی (۱۹۹۳-۱۹۲۹) بررسی کرده نتیجه گرفتند که بارش ماهانه دارای روند کاهشی بوده و حداکثر روند مربوط به ماه سپتامبر و فصل زمستان است. مشیرا و دیسای (۲۰۰۵)<sup>۹</sup> پیش‌بینی‌های خشک‌سالی را با استفاده از مدل‌های آریمای، ساریما و SPI انجام داده‌اند. پیتروسکی و همکاران (۲۰۰۶)<sup>۱۰</sup> پیش‌بینی سیلاب در حوضه آبریز رودخانه نیسا کلودزکا با استفاده از مدل شبکه عصبی پرسپترون چندلایه و توابع شعاعی انجام دادند. نتایج نشان داد که مدل توابع شعاعی نتایج بهتر و مناسب‌تری دارد. دمل و یالکین (۲۰۰۷)<sup>۱۱</sup> مدل کاربرد سری‌های زمانی را در پیش‌بینی سیلاب رودخانه می‌سی‌سی‌پی آمریکا به کار بردند. داهامشه و آکسوی (۲۰۰۹)<sup>۱۲</sup> بارش مناطق خشک اردن را با استفاده از مدل‌های شبکه عصبی مصنوعی و رگرسیون چند متغیره بررسی کردند. نتایج نشان داد که مدل شبکه عصبی نتایج بهتری نسبت به رگرسیون چند متغیره دارد. دردو (۲۰۱۰)<sup>۱۳</sup> کیفیت آب رودخانه ترکیه را با استفاده از شبکه عصبی مصنوعی و مدل آریمای بررسی کرد و نشان داد که ترکیب هر دو مدل با هم نتایج بهتری دارد. هاسانا و همکاران (۲۰۱۲)<sup>۱۴</sup> با استفاده از مدل سری‌زمانی آریمای و مدل توابع انتقال، پیش‌بینی‌هایی را انجام داده و نتیجه گرفتند که مدل توابع انتقال نتیجه بهتری نسبت به مدل آریمای دارد. چانگ و همکاران (۲۰۱۲)<sup>۱۵</sup> پیش‌بینی بارش سه‌ساله یانته چین را با استفاده از مدل ساریما طی دوره آماری ۱۹۶۱ تا ۲۰۱۱ بررسی کردند و نتایج روند کاهشی بارش را نشان داد.

لوهانی و همکاران (۲۰۱۲)<sup>۱۶</sup> با استفاده از شبکه عصبی مصنوعی، منطق فازی و اتورگرسیون پیش‌بینی جریان ورودی به مخزن سد بیهاکرای هند را بررسی کرده و نشان دادند که مدل منطق فازی نتایج بهتری نسبت به مدل‌های شبکه عصبی مصنوعی و اتورگرسیون دارد. ناستوس و همکاران (۲۰۱۳)<sup>۱۷</sup> پیش‌بینی بارش یونان و آتن را با استفاده از شبکه عصبی مصنوعی انجام دادند. چارلوس و همکاران (۲۰۱۳)<sup>۱۸</sup> پیش‌بینی جریان رودخانه مخزن سالواجسنا در کلمبیا را با استفاده از هوش مصنوعی هیبریدی بررسی کرده و نشان دادند که این مدل قابلیت خوبی برای پیش‌بینی دارد.

یایا و فشی (۲۰۱۵)<sup>۱۹</sup> بارش نیجریه را با استفاده از مدل ساریمای پیش‌بینی کردند. نتیجه تحقیق نشان داد که مدل ساریمای بهترین مدل برای پیش‌بینی بارش این کشور است.

رضایی و همکاران (۲۰۱۵)<sup>۲۰</sup> جریان رودخانه شورن قاین را با استفاده از شبکه عصبی مصنوعی پیش‌بینی کردند. نتیجه نشان‌دهنده عملکرد بهتر شبکه عصبی مصنوعی برای پیش‌بینی رواناب ناشی از بارندگی است. مورسی و همکاران (۲۰۱۸)<sup>۲۱</sup>

6. Halid & Ridd

7. Maria et al

8. Parnal & Kahya

9. Mishra & Desai

10. Pitrowski et al

11. Damle & Yalcin

12. Dahamsheh & Aksoy

13. Durdo

14. Hanasa et al

15. Chang et al

16. Lohani et al

17. Nastos et al

18. Charlos et al

19. Yaya & Fashae

20. Rezaei et al

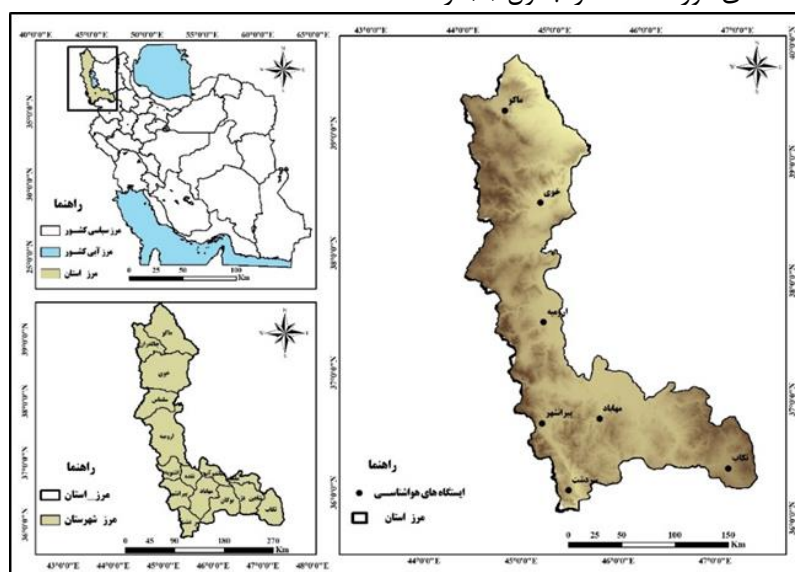
21. Murthy et al

به بررسی پیش‌بینی بارش در شمال شرق هند با استفاده از مدل‌های سری‌زمانی پرداخته و نشان دادند که مدل ساریما مدل مناسبی برای تجزیه و تحلیل و پیش‌بینی الگوهای بارندگی است.

## روش‌شناسی

### موقعیت منطقه مورد مطالعه

منطقه مورد مطالعه در این تحقیق استان آذربایجان غربی از نظر جغرافیایی در شمال غرب ایران و در حد فاصل ۳۵ درجه و ۵۸ دقیقه تا ۳۹ درجه و ۴۶ دقیقه عرض شمالی و ۴۴ درجه و ۳۰ دقیقه تا ۴۷ درجه و ۲۳ دقیقه طول شرقی قرار دارد. از شمال با جمهوری‌های آذربایجان و نخجوان، از شمال غرب و غرب با ترکیه و عراق هم‌مرز می‌باشد و از جنوب به استان کردستان و از مشرق به استان‌های آذربایجان شرقی و زنجان محدود می‌شود (عبدالله‌زاده ۱۳۸۵). این استان ۳۷۴۱۲ کیلومتر مربع (بدون احتساب دریاچه ارومیه)، مساحت دارد. طبقه‌بندی اقلیمی دومارتن آب‌وهوای استان در قسمت شمال خشک و نیمه‌خشک سرد، در قسمت مرکزی نیمه‌خشک سرد و در جنوب نیمه مرطوب سرد است. توده‌هواهای متفاوتی در فصول مختلف سال وارد این استان می‌شوند ولی در بیشتر مواقع تحت تأثیر توده‌های هوایی غربی قرار دارد. این توده‌های هوا از اقیانوس اطلس و دریای مدیترانه وارد استان شده و منشأ رطوبت و بارش در فصول مختلف به‌ویژه پاییز، زمستان و بهار می‌شوند. البته توده‌های هوای سرد قاره‌ای سیبری و قطبی و توده‌های هوای سرد مرطوب شمال اروپا نیز با ورود به این منطقه باعث کاهش دما و بارش می‌شوند (حیدری، ۱۳۹۵). موقعیت منطقه مطالعاتی و ایستگاه‌های مورد مطالعه در شکل (۱) و مشخصات ایستگاه‌های مورد مطالعه در جدول (۱) ارائه شده‌اند.



شکل (۱). نقشه منطقه مورد مطالعه و موقعیت آن در ایران

جدول (۱). مشخصات جغرافیایی ایستگاه‌های مورد مطالعه

نام ایستگاه	ارتفاع (متر)	طول جغرافیایی	عرض جغرافیایی
ارومیه	۱۳۴۴/۸۴	۴۵ درجه و ۶ دقیقه	۳۷ درجه و ۶۶ دقیقه
پیرانشهر	۱۵۰۲/۴۷	۴۵ درجه و ۱۵ دقیقه	۳۶ درجه و ۷۰ دقیقه
تکاب	۱۸۰۶/۲۵	۴۷ درجه و ۱۰ دقیقه	۳۶ درجه و ۴۰ دقیقه
خوی	۱۱۴۱/۵۱	۴۵ درجه	۳۸ درجه و ۵۶ دقیقه
سردشت	۱۶۱۵/۳۲	۴۵ درجه و ۴۹ دقیقه	۳۶ درجه و ۱۵ دقیقه
مهاباد	۱۳۳۲/۴۹	۴۴ درجه و ۳۹ دقیقه	۳۹ درجه و ۲۸ دقیقه
ماکو	۱۴۴۲/۵۱	۴۵ درجه و ۷۲ دقیقه	۳۶ درجه و ۷۵ دقیقه

داده‌های بارش مورد استفاده در این پژوهش از سازمان کل هواشناسی کشور اخذ گردید. این داده‌ها از حالت روزانه به ماهانه و سپس فصلی و سالانه تبدیل شد و بعد از مرتب شدن آن‌ها، برای تجزیه و تحلیل آماری از نرم‌افزار Minitab و Xlstat و برای ترسیم نقشه‌های مورد نیاز از نرم‌افزار Arc gis 10.4 استفاده گردید. علت انتخاب ایستگاه‌های مذکور داشتن آمار، قدیمی بودن ایستگاه‌ها و کامل بودن آمار آن‌ها برای دوره‌های ۱۹۸۷-۲۰۱۹ و همچنین مکان مناسب آن‌ها بوده است. در این تحقیق برای بررسی و پیش‌بینی بارش فصلی و سالانه ایستگاه‌های مورد مطالعه از مدل‌های سری زمانی از جمله: مدل میانگین لغزان، ساریما (آریمای فصلی)، هلت وینترز برای تجزیه و تحلیل داده استفاده شد و از رگرسیون خطی و من‌کنندال برای تعیین روند داده‌ها بهره گرفته شد.

مدل میانگین لغزان یکی از روش‌های پیش‌بینی و بررسی ترسالی و خشک‌سالی است. چنانچه تغییرات بارش سالانه در طی یک دوره آماری در نظر گرفته شود به دلیل تغییرات سالانه مقادیر بارش، بررسی روند تغییرات به راحتی امکان پذیر نیست. روش میانگین لغزان با به کارگیری متوسط داده‌ها در یک دوره معین و تشکیل سری زمانی جدید این نوسانات را کاهش داده یا به عبارتی دیگر آن‌ها را هموار می‌کند، بنابراین با حذف یا کاهش نوسانات سالانه، روند تغییرات دراز مدت بارز می‌گردد. میانگین لغزان می‌تواند در پایه‌های زمانی مختلف محاسبه شود که بستگی به طول آمار مورد بررسی و تغییرپذیری سری داده‌ها دارد. این مدل از طریق رابطه (۱) قابل محاسبه است.

$$x_t = c + \sum_{i=1}^p \varphi_i x_{t-i} + \epsilon_t \quad (1) \text{ رابطه (۱)}$$

در رابطه (۱):  $\varphi_1, \dots, \varphi_p$  پارامترهای مدل هستند. C ثابت مدل و  $\epsilon_t$  خطای وایت نویز مدل هست (رستم اصل و همکاران، ۱۳۹۷).

ساریما (آریمای فصلی) یکی از مدل‌های پیش‌بینی کوتاه‌مدت در تحلیل سری زمانی است. این مدل توسط باکس و جنکینز در اوایل دهه ۱۹۷۰ ارائه شد. مدل‌های باکس و جنکینز دو شکل کلی دارند که عبارت‌اند از آریمای غیرفصلی (ARIMA(p,d,q)) و آریمای فصلی ضربی (SARIMA(p,d,q)(P,D,Q)). P و q به ترتیب مرتبه اتورگرسیون و میانگین متحرک غیر فصلی، P و Q مرتبه اتورگرسیون و میانگین متحرک فصلی هستند دو پارامتر دیگر یعنی d و D به ترتیب تعداد تفاضل‌های غیرفصلی و فصلی را نشان می‌دهند.

آریمای غیرفصلی به شکل رابطه (۲) نوشته می‌شود:

$$\Phi(B)Z_t = \theta(B)(1-B)Z_t = \theta(B)a_t \quad (2) \text{ رابطه (۲)}$$

در رابطه (۲):  $Z_t$  سری‌های مشاهده شده  $\Phi(B)$ ، رتبه چندجمله‌ای P و  $\theta(B)$  رتبه چندجمله‌ای q است. برای سری‌های زمانی فصلی که اغلب به صورت چرخه‌ای هستند، تفاضل‌گیری فصلی به کار برده می‌شود. در اینجا مدل فصلی ضربی را به صورت رابطه (۳) بیان شده است:

$$\Phi_p(B^s) \Delta^d \Delta_s^D (z_t - \bar{z}) = \theta_q(B) \Phi_q(B^s) a_1 \varphi_p \quad (3) \text{ رابطه (۳)}$$

در رابطه (۳)  $\Phi_p$  و  $\Phi_q$  به ترتیب چند جمله‌های فصلی P و Q هستند. رتبه مدل‌های آریمای فصلی ضربی به شکل  $(p,d,q) * (P,D,Q)$  می‌باشد.

در این مدل با استفاده از توابع خودهمبستگی ACF و خودهمبستگی جزئی PACF مدل‌های سری زمانی مناسب به داده‌ها برازش داده می‌شود و با استفاده از رفتار این دو تابع خواص ایستایی و فصلی بودن داده‌ها مورد بررسی قرار می‌گیرد.



تابع خودهمبستگی (ACF) میزان وابستگی داده‌ها را نشان می‌دهد. این تابع میزان همبستگی سری‌های زمانی را با فواصل زمانی نشان می‌دهد. از این تابع می‌توان بینشی از الگوی احتمالی حاکم بر داده‌ها نشان داد که این امر در برازش مدل مناسب برای داده‌ها کمک می‌کند. با داشتن نمونه‌ای با  $x_1 + x_2 + \dots + x_n$  برای محاسبه همبستگی هر داده با مشاهده قبل و بعد خود در فاصله زمانی  $k$ ، ابتدا آن‌ها به صورت زوج‌های دوتایی مشخص کرده و سپس همبستگی بین آن‌ها محاسبه می‌شود. ضریب خودهمبستگی بین سری‌های زمانی با فاصله زمانی  $k$  از رابطه (۴) محاسبه می‌گردد:

$$\text{رابطه (۴)} \quad r_k = \frac{\sum_{t=k+1}^n (x_t - \bar{x})(x_{t-k} - \bar{x})}{\sum_{t=1}^n (x_t - \bar{x})^2} \quad k = 0, 1, 2, 3,$$

در رابطه (۴) میانگین سری زمانی کل می‌باشد. همواره مقدار  $r_k$  در محدوده  $0 \leq r_k \leq 1$  متغیر است و همچنین به ازای مقادیر  $k=0$  مقدار ضریب خودهمبستگی همواره یک است (صالحی، ۱۳۹۳).

تابع خودهمبستگی جزئی (PCAF) روش دیگری جهت نمایش ساختار وابسته زمانی یک سری یا یک مدل است. از این تابع می‌توان در تشخیص نوع و مرتبه مدل استفاده نمود. این تابع به صورت رابطه (۵) محاسبه می‌گردد احمدی (۱۳۹۹).

$$\text{رابطه (۵)} \quad \text{Corr}(x_t, x_{t+k} | x_{t+1} \dots x_{t+k-1})$$

مدل هلت وینترز روشی برای بررسی داده‌های وابسته به زمان است. پیش‌بینی رفتار داده‌های تصادفی، احتیاج به یک مدل آماری دارد که معمولاً پارامترهای این مدل توسط داده‌ها، شناسایی و برآورد می‌شوند. مدل هلت وینترز، شامل سه بخش است. بخش اول، میانگین (مقدار ثابت) نامیده می‌شود که رفتار کلی مدل را نشان می‌دهد و مقادیر پیرامون آن نوسان می‌کنند. بخش دوم روند (شیب خط) است که برحسب زمان ثابت است ولی به عنوان مضرب برای متغیر در نظر گرفته می‌شود. بخش سوم نیز که به صورت تناوبی تغییر می‌کند، برای نمایش تغییرات فصلی به کار گرفته می‌شود. پیش‌بینی در روش هلت وینترز به کمک هموارسازی نمایی صورت می‌گیرد، به این ترتیب اثر داده‌های نزدیک به نقطه پیش‌بینی، بیشتر از داده‌هایی است که در گذشته دور از آن واقع شده‌اند. شکل ساده (بدون روند و تغییرات فصلی) مدل سری زمانی هلت وینترز به صورت رابطه (۶) است:

$$\text{رابطه (۶)} \quad = a \frac{y_t}{I_{t-L}} + (1-a)(S_{t-1} + b_{t-1})S_t$$

در رابطه (۶):  $y_t$  مشاهده مربوط به زمان  $t$  و  $S_t$  مشاهده هموار شده در زمان  $t$  است. همان‌طور که در این مدل مشاهده می‌شود، فقط پارامترهای  $a$  حضور داشته و هر مشاهده به صورت ترکیب خطی از نقطه قبلی  $S_{t-1}$  دیده می‌شود. از طرفی  $I$  نیز شاخص تغییرات فصلی<sup>۲۲</sup> نامیده شده و  $L$  نیز طول دوره تغییرات فصلی است. در صورتی که مدل دارای روند باشد شکل مدل به صورت رابطه (۷) خواهد بود رضایی، اسماعیل پور (۱۳۹۶).

$$\text{رابطه (۷)} \quad = \gamma(S_t - S_{t-1}) + (1-\gamma)b_{t-1}b_t$$

همان‌طور که مشخص است پارامتر گاما ( $\gamma$ ) نیز در مدل اضافه شده است. در نهایت مدلی که به همراه تغییرات فصلی ارائه می‌شود به صورت رابطه (۸) خواهد بود:

22. Seasonal Index

$$\text{رابطه (۸)} \quad I_t = \beta \frac{Y_t}{S_t} + (1 - \beta)I_{t-1}$$

به‌منظور پیش‌بینی در مدل حالت وینترز، از رابطه (۹) کمک می‌شود:

$$\text{رابطه (۹)} \quad F_{t+m} = (S_t + mb_t)I_{t-L+m}$$

رگرسیون خطی یکی از روش‌های تحلیل رگرسیون است. رگرسیون یک نوع مدل آماری است برای پیش‌بینی یک متغیر از روی یک یا چند متغیر دیگر. در رگرسیون هدف آن است که با استفاده از معادله خط رگرسیون رفتار متغیر وابسته را با آگاهی از مقادیر و مشخصات متغیرهای مستقل، پیش‌بینی کنیم. اگر برای شناسایی و پیش‌بینی متغیر وابسته فقط از یک متغیر مستقل استفاده شود، مدل را رگرسیون خطی ساده می‌گویند. فرم مدل رگرسیون خطی ساده به‌صورت رابطه (۱۰) است (عسگری ۱۳۹۶):

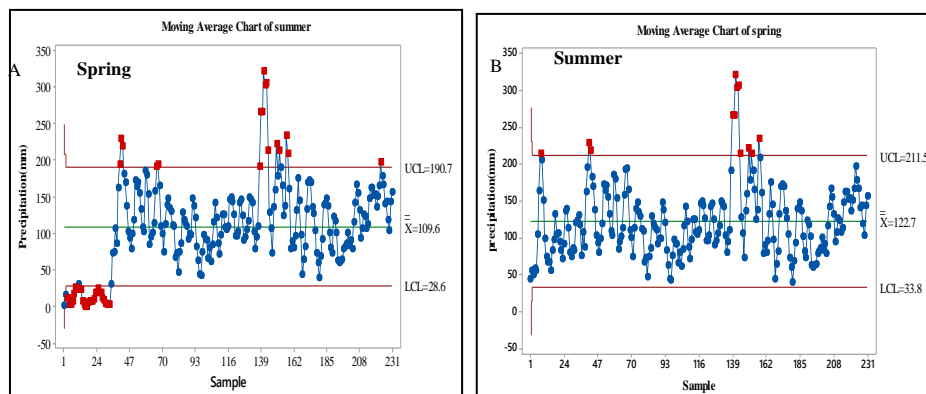
$$\text{رابطه (۱۰)} \quad y = \beta_0 + \beta_1 X + \epsilon$$

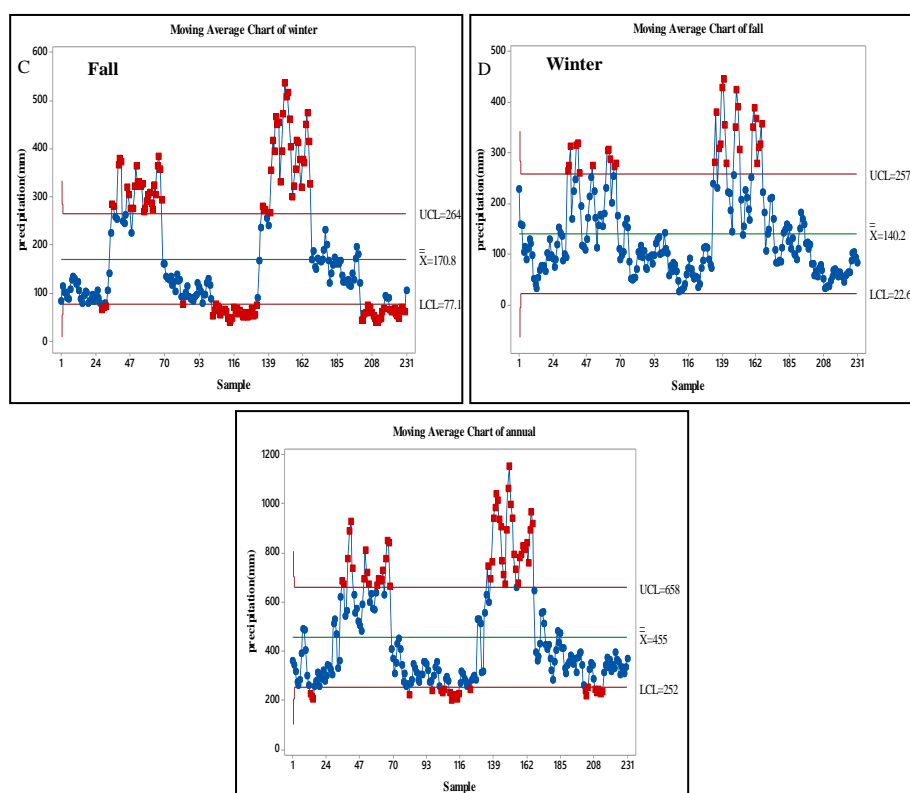
آزمون من-کندال از متداول‌ترین و پرکاربردترین روش‌های ناپارامتریک به‌شمار می‌رود که می‌تواند در جهت تحلیل روند سری‌های زمانی و ... مورد استفاده قرار گیرد؛ و این آزمون جهت برآورد نمودن شیب واقعی یک روند در یک سری زمانی، استفاده از روش ناپارامتریک سنس می‌تواند یکی از روش‌های مناسب در این زمینه باشد. این روند همانند بسیاری دیگر از روش‌های ناپارامتریک همچون من-کندال بر تحلیل تفاوت بین مشاهدات سری‌زمانی استوار است. این روش در شرایطی می‌تواند مورد استفاده قرار گیرد که روند موجود در سری‌زمانی یک روند خطی باشد. این روش به‌طور متداول و گسترده‌ای در تحلیل روند سری‌های هیدرولوژیکی و هواشناسی به کار می‌رود از نقاط قوت این روش می‌توان به مناسب بودن کاربرد آن برای سری‌های زمانی که از توزیع آماری خاصی پیروی نمی‌کنند اشاره نمود. اثرپذیری ناچیز این روش از مقادیر حدی که در برخی از سری‌های زمانی مشاهده می‌گردند نیز مزایای استفاده از این روش است. فرض صفر این آزمون بر تصادفی بودن و عدم وجود روند در سری داده‌ها دلالت دارد و پذیرش فرض یک (رد فرض صفر) دال بر وجود روند در سری داده‌ها می‌باشد (www.climatology.ir).

## نتایج

### میانگین لغزان

در شکل (۲) (A-E) پیش‌بینی‌های فصلی و سالانه بارش ایستگاه‌های مورد مطالعه به روش میانگین لغزان نشان داده شده‌اند.



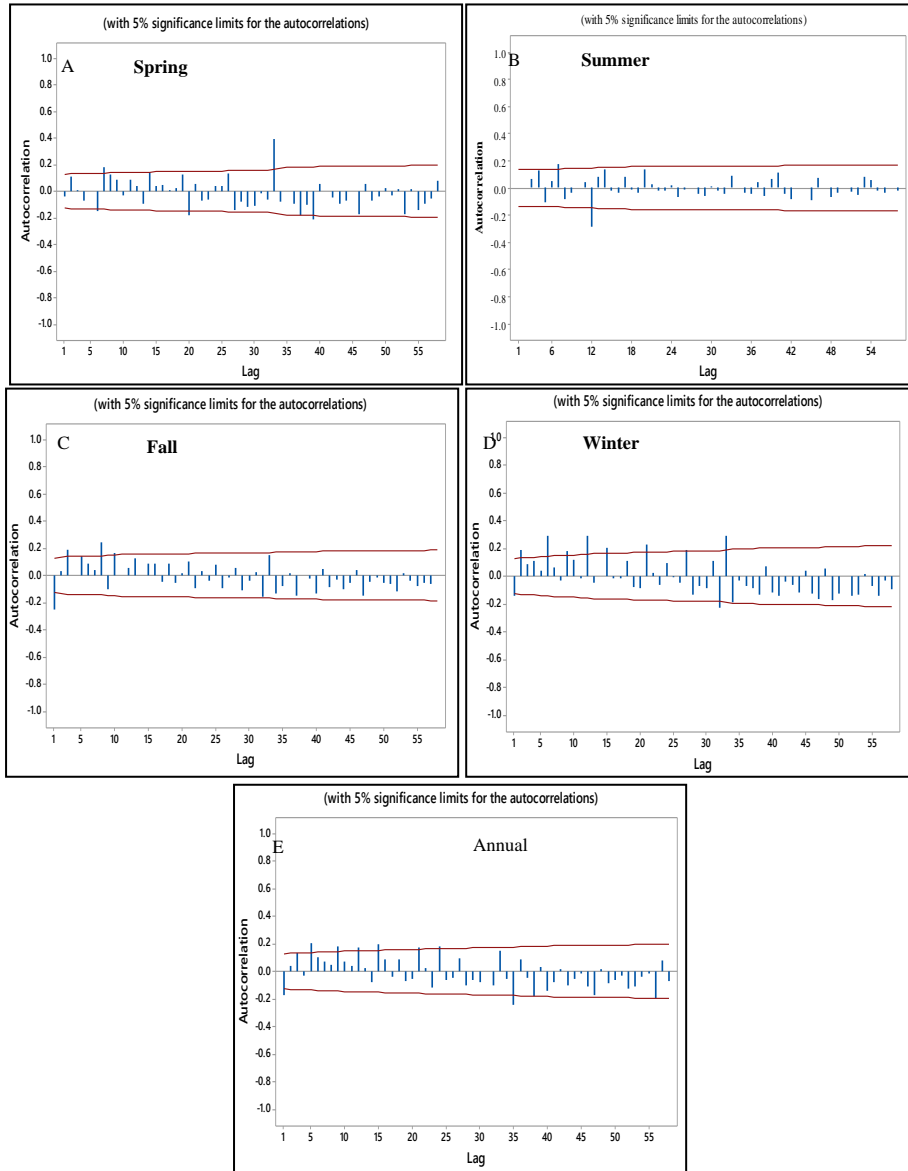


شکل (۲). پیش‌بینی بارش به روش میانگین لغزان

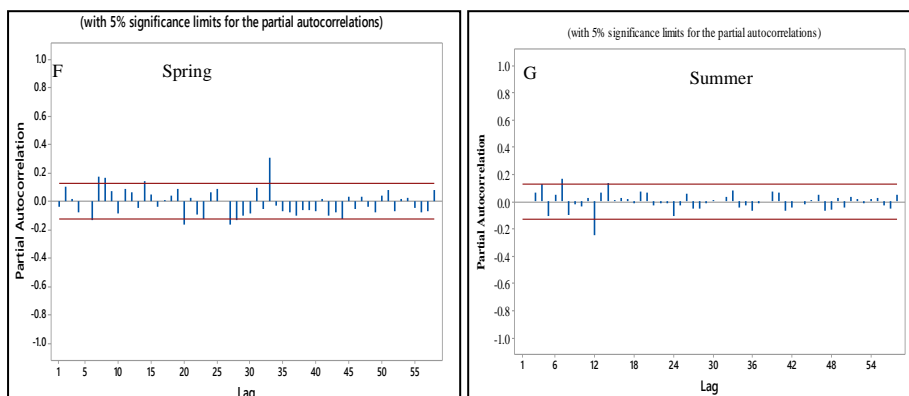
بررسی رفتار تغییرات مربوط به بارش فصلی و سالانه ایستگاه‌های مورد مطالعه مشخص می‌کند که در فصول بهار و تابستان نویزهای موجود در داده‌ها حذف می‌شوند ولی در فصل بهار در اطراف ارقام ۱۳۹ تا ۱۶۲ میلی‌متر هفت مورد از داده‌های بارندگی دارای نویز هستند و با مجموع میانگین داده‌ها همخوانی نداشته و به اندازه سه انحراف معیار از میانگین دور شده‌اند. همچنین در اطراف ارقام ۱ تا ۴۷ نیز سه مورد نویز در بارندگی مشاهده می‌شود که با فاصله اندکی از میانگین قرار گرفته‌اند. حداقل، حداکثر و میانگین بارندگی فصل بهار در سال‌های ۱۹۸۷ تا ۲۰۱۹ به ترتیب ۳۳/۸، ۲۱۱/۵ و ۱۲۲/۷ میلی‌متر است و نمودار فصل تابستان نشان‌دهنده آن است که در بین اعداد یک تا ۲۴ زیر خط میانگین بوده است. بقیه سال‌ها در حد متوسط بارندگی داشته و فقط ۱۵ مورد از بارندگی‌ها دارای نویز هستند که بیشتر از حداکثر بارندگی بوده و با فاصله اندکی از میانگین قرار دارند، حداقل، حداکثر و میانگین بارندگی این فصل به ترتیب ۲۸/۶، ۱۹۰/۷ و ۱۰۹/۶ میلی‌متر است. در نمودار فصل پاییز نویزهای موجود بیش از حداکثر بارندگی بوده و با فاصله اندکی از میانگین قرار گرفته‌اند ولی نمودار فصل زمستان علاوه بر نویزهای بالای حداکثر بارندگی، نویزهای زیادی نیز پایین‌تر از حداقل بارندگی دارند. حداقل، حداکثر و میانگین بارندگی فصل پاییز به ترتیب ۲۲/۶، ۲۵۷/۸ و ۱۴۰/۲ میلی‌متر است. این موارد برای فصل زمستان ۷۷/۱، ۲۶۴/۶ و ۱۷۰/۸ میلی‌متر است. نمودار سالانه بارش میانگین لغزان نشان‌دهنده نویزهای زیادی در بارندگی است با انجام محاسبات صورت گرفته تعداد ۲۳ نویز، زیر حداقل بارندگی قرار گرفته‌اند که نشانگر کاهش شدید بارندگی بوده و با میانگین همخوانی ندارند. تعداد ۴۷ نویز بالاتر از حداکثر بارندگی قرار گرفته و نشانگر جهش مثبت و افزایشی بارش هستند. حداقل، حداکثر و میانگین سالانه ۳۲ ساله طی سال‌های ۱۹۸۷ تا ۲۰۱۹ به ترتیب ۲۵۲، ۶۵۸ و ۴۵۵ میلی‌متر است.

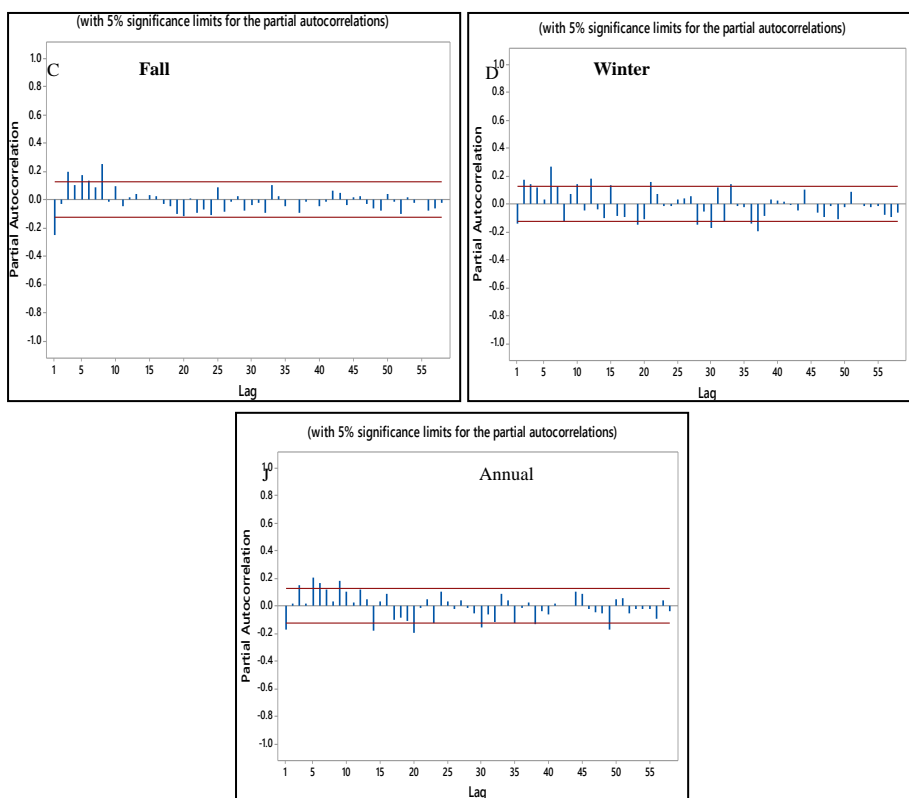
خودهمبستگی و خودهمبستگی جزئی

در این پژوهش فرآیندهای خودهمبستگی و خودهمبستگی جزئی با استفاده از مدل ساریما (آریمای فصلی) به دست آمده‌اند که در شکل (۳) و (۴) (A-J) نشان داده شده‌اند.



شکل (۳). خودهمبستگی به ترتیب فصلی و سالانه



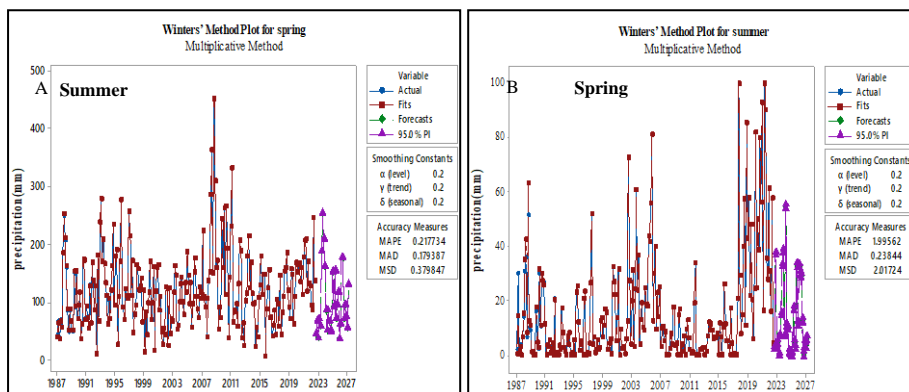


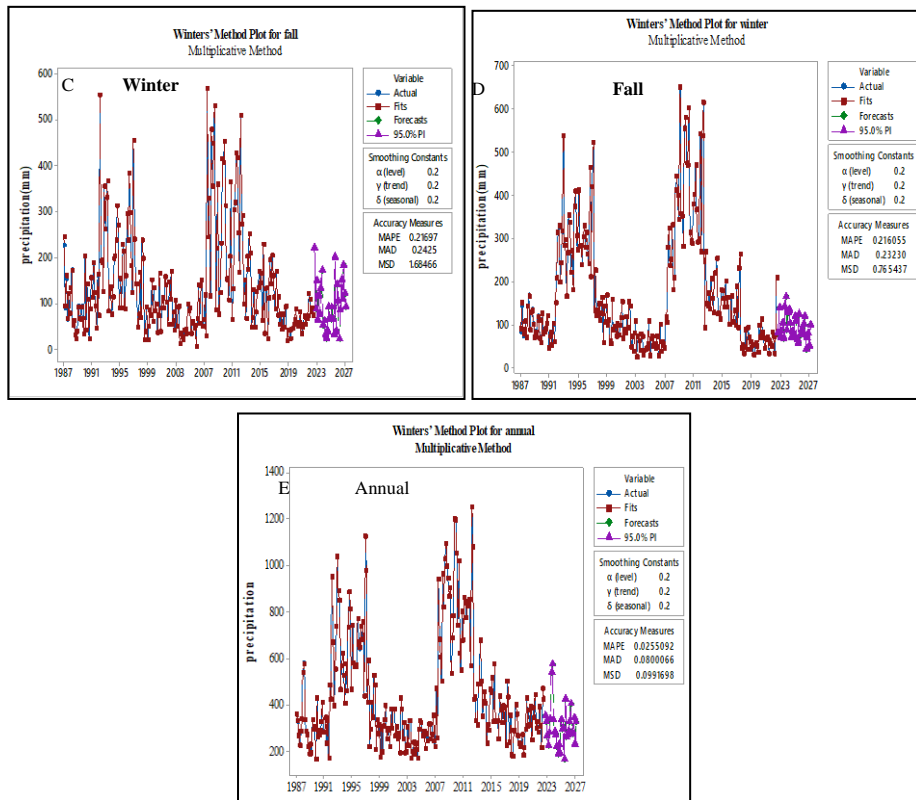
شکل (۴). خودهمبستگی جزئی به ترتیب فصلی و سالانه

در اشکال (۳ و ۴) نمودارهای (A-E) مربوط به خودهمبستگی و نمودارهای (F-J) مربوط به خودهمبستگی جزئی است. همان طور که از نمودارهای استخراج شده مشخص است، در نمودارهای خودهمبستگی جزئی برای تمام فصول و نیز برای مقادیر سالانه همبستگی بین داده‌های بارش به صورت موازی است و در بین داده‌ها در تمامی مقاطع همبستگی یکسانی وجود دارد ولی در نمودارهای خودهمبستگی خط برازش از هم فاصله می‌گیرد و از ارتباط بین داده‌ها کاسته می‌شود بنابراین با توجه به مدل انجام گرفته بر روی داده‌های مورد مطالعه، داده‌ها نزدیک صفر هستند که گویای معنی‌دار بودن آن‌ها در سطح ۹۵٪ می‌باشد.

### روش هلت وینترز

نتایج پیش‌بینی‌های بارش فصلی و سالانه بارش ایستگاه‌های مورد مطالعه به روش هلت وینترز با اطمینان ۹۵ درصد در نمودارهای (A-E) در شکل (۵) نشان داده شده‌اند.





شکل (۵). پیش‌بینی و مقادیر واقعی بارش فصلی و سالانه به روش هلت وینترز

با اجرای مدل هلت وینترز در سطح اطمینان ۹۵ درصد و از مقایسه نقاط پیش‌بینی شده و نقاط برازش یافته مشخص می‌شود که در بیشتر موارد سری بارندگی‌ها کاملاً بر هم منطبق هستند به‌گونه‌ای که نمی‌توان مقادیر واقعی را از برازش یافته تشخیص داد که این امر گویای دقت بالای مدل پیش‌بینی است. در فصل بهار سال ۲۰۰۳ بارندگی بالاتر از آستانه بالایی قرار گرفته و بقیه سال‌ها در حالت نرمال بوده و هیچ سالی پایین‌تر از آستانه نرمال نیست. بارندگی در سال ۲۰۰۹ نشانگر افت محسوسی است که بعد از آن مجدداً روند افزایشی پیدا کرده است. معیارهای سنجش دقت مدل در فصل بهار برای میانگین مطلق انحرافات برابر ۰/۱۷۹۳۸۷، میانگین مجذور انحرافات برابر ۰/۳۷۹۸۴۷ و درصد میانگین مطلق خطاها برابر ۰/۲۱۷۷۳۴ برآورد گردید. در نمودار بارندگی‌های فصل تابستان، بین سال‌های ۲۰۰۳ تا ۲۰۰۶ یک دوره افزایشی مشاهده می‌شود و از سال ۲۰۰۷ به بعد تا سال ۲۰۱۶ روند کاهشی وجود داشته و از سال ۲۰۱۷ به بعد روند افزایشی است. برای فصل تابستان میانگین مطلق انحرافات برابر ۰/۲۳۴۸۸ و میانگین مجذور انحرافات برابر ۲/۰۱۷۲۴ و درصد میانگین مطلق خطاها برابر ۱/۹۹۵۶۲ برآورد شده‌اند. در فصل پاییز بین سال‌های ۱۹۹۰ تا ۱۹۹۵ و همچنین بین سال‌های ۲۰۰۲ تا ۲۰۰۷ بارندگی روند افزایشی قابل‌ملاحظه‌ای داشته و بقیه سال‌ها در آستانه نرمال بوده و هیچ سالی پایین‌تر از آستانه نرمال قرار نگرفته است. معیارهای سنجش دقت در این مدل برای فصل پاییز با میانگین مطلق انحرافات برابر ۰/۲۴۲۵، میانگین مجذور انحرافات برابر ۱/۶۸۴۶۶ و درصد میانگین مطلق خطاها برابر ۰/۲۱۶۹۷ برآورد گردید. همچنین نمودار هلت وینترز برای بارش سالانه نیز در سال‌های ۱۹۹۱ تا ۱۹۹۷ دارای یک دوره افزایشی بوده و از سال ۱۹۹۸ تا ۲۰۰۷ یک دوره کاهشی داشته است. بعد از این دوره دوباره یک دوره افزایشی قابل‌ملاحظه‌ای مشاهده می‌شود که تداوم نداشته و از سال ۲۰۱۳ افت محسوسی آغاز شده است اما در سال‌های بعد مجدداً روند افزایش نسبی قابل مشاهده است. همچنین داده‌های برازش یافته و واقعی کاملاً بر هم منطبق هستند. معیارهای سنجش دقت برای میانگین مطلق انحرافات برابر ۰/۰۸۰۰۰۶۶، میانگین

مجذور انحرافات برابر  $0/0991698$  و درصد میانگین مطلق خطاها برابر  $0/0255092$  است. معیارهای سنجش دقت در این مدل گویای دقت بالای آن و دقت و اعتبار در حد ایده‌آل می‌باشد.

### رگرسیون خطی

به‌منظور ارائه تصویری روشن از رفتار سری زمانی بارش سالانه و فصلی مقدار تغییرات روند سری زمانی بارش تک‌تک ایستگاه‌ها در آزمون رگرسیون خطی مورد آزمون قرار گرفت تا نوع روند و ضریب تعیین آن مشخص شود. با توجه به نوع الگوی خطی در روندهای بارش فصلی و سالانه ایستگاه‌های مورد مطالعه معنی‌داری آماری در سطح اطمینان  $95\%$  در جداول (۲ و ۳) آورده شده است

جدول (۲). تعیین روند خطی بارش فصلی ایستگاه‌های مورد مطالعه

ایستگاه	بهار	تابستان	پاییز	زمستان
ارومیه	$Y=0/3563x+96/583$ $R^2 = 0/0038$	$Y=2/4979x-10/386$ $R^2 = 0/0235$	$Y=-$ $0/1179x+100/56$ $R^2 = 0/0005$	$Y=-$ $0/1635x+102/63$ $R^2 = 0/0019$
پیرانشهر	$Y=0/5056x+132/46$ $R^2 = 0/05$	$Y=0/1026x+4/409$ $R^2 = 0/0152$	$Y=-0/3716x+229/7$ $R^2 = 0/001$	$Y=1/8021x+279/25$ $R^2 = 0/0386$
تکاب	$Y=-$ $0/9163x+116/97$ $R^2 = 0/0355$	$Y=-0/219x+14/282$ $R^2 = 0/0316$	$Y=0/124x+102/56$ $R^2 = 0/0005$	$Y=-$ $1/2203x+134/39$ $R^2 = 0/971$
خوی	$Y=1/6056x+84/327$ $R^2 = 0/1285$	$y=2/6434x+1/6846$ $R^2 = 0/0092$	$Y=0/2652x+63/823$ $R^2 = 0/0039$	$Y=0/3536x+55/184$ $R^2 = 0/182$
سردشت	$Y=-$ $1/3978x+191/57$ $R^2 = 0/0179$	$Y=0/0347x+5/5751$ $R^2 = 0/0018$	$Y=-$ $1/8304x+322/09$ $R^2 = 0/148$	$Y=4/7055x+307/29$ $R^2 = 0/1298$
مهاباد	$Y=-$ $0/6793x+110/15$ $R^2 = 0/017$	$Y=0/0061x+5/7317$ $R^2 = 0/0001$	$Y=-$ $1/1587x+154/04$ $R^2 = 0/0301$	$Y=-$ $0/5837x+169/36$ $R^2 = 0/0123$
ماکو	$Y=1/7756x+105/36$ $R^2 = 0/1382$	$Y=0/2379x+39/807$ $R^2 = 0/0062$	$Y=0/6098x+54/715$ $R^2 = 0/0558$	$Y=1/147x+45/032$ $R^2 = 0/1103$

جدول (۳). تعیین روند خطی الگویی سالانه ایستگاه‌های مورد مطالعه

نام ایستگاه	معادله ارزیابی شده به همراه مقادیر معنی‌داری آزمون
ارومیه	$Y= 2/571x + 289/37$ $R^2 = 0/0308$
پیرانشهر	$Y= 2/0392 x + 645/8$ $R^2 = 0/0111$
تکاب	$Y= -2/4799x + 368/21$ $R^2 = 0/0621$
خوی	$Y= 4/8677x + 205/02$ $R^2 = 0/0584$
سردشت	$Y= 3/7917x + 774/54$ $R^2 = 0/0311$
مهاباد	$Y= -2/417x + 349/29$ $R^2 = 0/0547$
ماکو	$Y= 3/7702 x + 244/91$ $R^2 = 0/2026$

### آزمون من‌کندال

آزمون من‌کندال برای هر یک از ایستگاه‌های مورد مطالعه صورت گرفت که نتیجه آماره Z در جدول (۴) ارائه شده است. نتیجه آزمون من‌کندال نشان‌دهنده روند افزایشی بارش در ایستگاه‌های ارومیه، پیرانشهر، خوی، سردشت و ماکو و روند کاهشی در دو ایستگاه تکاب و مهاباد است.

جدول (۴). بررسی روند سالانه ایستگاه‌های مورد مطالعه با استفاده از آزمون من-کندال

Station	Kendall's tau	S	p- Value (Two- tailed)	Alpha	Sen's slope
ارومیه	۰/۰۸۷	۴۶/۰۰۰	۰/۴۸۶	۰/۰۵	۱/۱۶۱
پیرانشهر	۰/۰۸۳	۴۴/۰۰۰	۰/۵۰۵	۰/۰۵	۲/۳۲۹
تکاب	-۰/۱۲۹	-۶۸/۰۰۰	۰/۲۹۹	۰/۰۵	-۱/۵۷۱
خوی	۰/۱۵۹	۸۴/۰۰۰	۰/۱۷۹	۰/۰۵	۱/۷۱۵
سردشت	۰/۸۰۲۷	۱۴/۰۰۰	۰/۸۴۰	۰/۰۵	۱/۵۴۵
مهاباد	-۰/۱۴۰	-۷۴/۰۰۰	۰/۲۵۸	۰/۰۵	-۱/۷۴۶
ماکو	۰/۲۵۸	۱۳۶/۰۰۰	۰/۰۳۶	۰/۰۵	۴/۴۴۶

### نتیجه‌گیری

مدل میانگین لغزان نشان‌دهنده وجود روند کاهشی بارش در ایستگاه‌های مورد مطالعه است. فقط در فصل بهار روند افزایشی محسوسی مشاهده می‌شود؛ بنابراین از مدل‌های دیگری نیز برای پیش‌بینی استفاده شده است. دومین مدلی که برای منطقه مورد مطالعه استفاده شده مدل ساریما (آریمای فصلی) است. نتایج حاصل از این مدل نشان داد که داده‌های بارش در تمامی مقاطع همبستگی یکسانی دارند به گونه‌ای که همبستگی بین داده‌ها کاملاً به صورت موازی بوده و گویای معنی‌دار بودن آن‌ها در سطح اطمینان ۹۵ درصد است. سومین مدل به کار رفته مدل هلت وینترز است که در این مدل داده‌های برازش یافته و پیش‌بینی شده کاملاً بر هم منطبق بودند به گونه‌ای که از هم قابل تفکیک نمی‌باشند که نشان‌دهنده روند افزایشی بارش در سال‌های آتی است. آزمون رگرسیون خطی نشان‌دهنده روند افزایشی بارش در سال‌های آتی است و معنی‌دار بودن داده‌ها را در سطح اطمینان ۹۵ درصد نشان می‌دهد. آزمون من‌کندال در سطح ۵٪ است. نتیجه آزمون من‌کندال نشان‌دهنده روند افزایشی بارش در ایستگاه‌های ارومیه، پیرانشهر، خوی، سردشت و ماکو و روند کاهشی در دو ایستگاه تکاب و مهاباد است. از بین مدل‌های استفاده شده مدل هلت وینترز با دارا بودن کمترین مقدار میانگین مطلق خطاها، میانگین مجذور انحرافات و درصد میانگین مطلق خطاها نسبت به دیگر مدل‌ها، مناسب‌ترین مدل برای پیش‌بینی بارش منطقه مورد مطالعه معرفی شد. برحسب یافته این تحقیق سمندری (۱۳۹۷)، گودرزی و روزبهانی (۱۳۹۶)، عبدالله‌نژاد (۱۳۹۴)، دودانگه و سلطانی (۱۳۹۰) هم به این نتایج در تحقیق خود دست یافته‌اند. بسیاری از محققین از مدل شبکه عصبی مصنوعی برای پیش‌بینی بارش استفاده کرده‌اند و آن را مدل خوبی برای پیش‌بینی معرفی کرده‌اند ولی در تحقیق حاضر سعی کردیم از مدلی استفاده کنیم که در منطقه مورد مطالعه به کار گرفته نشده است و نتیجه تحقیق با استفاده از مدل‌های سری زمانی نشان داد که مدل هلت وینترز مدل مناسبی برای پیش‌بینی بارش است.



## منابع

- احمدی، فرشاد، (۱۳۹۹). ارزیابی عملکرد روش‌های ماشین‌بردار پشتیبان و سیستم استنتاج عصبی فازی تطبیقی در پیش‌بینی جریان ماهانه رودخانه‌ها (مطالعه مورد رودخانه‌های نازلو و سزار)، مجله تحقیقات آب‌و‌خاک ایران، (۳)، ص ۶۷۳-۶۸۶.
- جهانبخش اصل، سعید، قویدل رحیمی، یوسف، (۱۳۸۲). مدل‌سازی روند بارش و پیش‌بینی خشک‌سالی‌های حوضه آبریز دریاچه ارومیه، نشریه دانشکده علوم انسانی و اجتماعی دانشگاه تبریز، ۳۴-۴۹.
- حلبیان، امیرحسین، دارند، محمد، (۱۳۹۱). پیش‌بینی بارش‌های اصفهان با استفاده از شبکه عصبی مصنوعی، نشریه علوم تحقیقات کاربردی علوم جغرافیایی، ۱۲ (۲۶)، ۴۳-۴۷.
- حیدری، حسن، (۱۳۹۵). تحلیل روند تغییرات برف و باران در ایستگاه‌های منتخب استان آذربایجان غربی، دانشگاه ارومیه، فصلنامه مطالعات جغرافیایی در مناطق خشک، ۷ (۲۶)، ۱۰۰-۱۱۹.
- رستم اصل، فرشاد، بیگی، حامد، راهدان، عباس، (۱۳۹۷). ارزیابی وضعیت اقلیمی با استفاده از شاخص میانگین متحرک و شاخص بارش استاندارد SPI. مجموع مقالات کنفرانسی، هفتمین کنفرانس ملی مرتع و مرتع‌داری ایران.
- رضایی بنفشه، مجید، اسماعیل‌پور، مرضیه، ارسالی، هاجر، (۱۳۹۶). تحلیل آماری تاریخ آخرین یخبندان بهاره در ایستگاه سینوپتیک مراغه، مجموع مقالات کنفرانسی، اولین همایش اندیشه‌ها و فناوری‌های نوین در علوم جغرافیایی.
- سلگی، اباذری، زارعی، حیدر، شهنی دارابی، مهنوش؛ علی‌دادی ده کهنه، صابر، (۱۳۹۷). کاربرد مدل‌های برنامه‌ریزی بیان ژن و ماشین‌بردار رگرسیونی جهت مدل‌سازی و پیش‌بینی بارش ماهانه، نشریه تحقیقات کاربردی علوم جغرافیایی، ۱۸ (۵۰)، ۱۰۳-۹۱.
- سمندری، رباب، (۱۳۹۷). تحلیل آماری و پیش‌بینی احتمال وقوع بارش‌های سنگین شمال غرب کشور، پایان‌نامه کارشناسی ارشد، به راهنمایی بتول زینالی و برومند صلاحی، دانشکده ادبیات و علوم انسانی، گروه جغرافیا، دانشگاه محقق اردبیلی.
- صلاحی، مریم، (۱۳۹۳). پیش‌بینی سیلاب با استفاده از شبکه عصبی مصنوعی و سری زمانی، پایان‌نامه کارشناسی ارشد، به راهنمای عباس رضایی استخرئیه، دانشگاه شهید باهنر کرمان، دانشکده کشاورزی و منابع طبیعی.
- عبدالله‌زاده، اصغر، (۱۳۸۵). پیش‌بینی و تولید داده‌های بارش با استفاده از مدل‌های آماری سری‌های زمانی (محدوده غرب دریاچه ارومیه). پایان‌نامه کارشناسی ارشد، به راهنمای روح الله و حسن خالقی، دانشکده کشاورزی دانشگاه شهرکرد.
- محمدخورشیددوست، علی، صراف، بهروز، قرمز چشمه، باقر، جعفرزاده، فاطمه، (۱۳۹۷). پیش‌بینی بارش‌های سنگین سواحل جنوبی دریای خزر تحت شرایط تغییر اقلیم در دوره ۱۴۰۸-۱۳۸۹. ۱۲ (۴۲)، ۱۲۱-۱۲۹.
- محمدخورشیددوست، علی، صراف، بهروز، قرمز چشمه، باقر، جعفرزاده، فاطمه، (۱۳۹۶). برآورد و تحلیل مقادیر آبی بارش‌های نواحی خزری با به‌کارگیری مدل‌های گردش عمومی جو. نشریه تحقیقات کاربردی علوم جغرافیایی سال هفدهم، (۴۷)، ۲۱۳-۲۲۶.
- میرموسوی، سید حسین، جلالی، مسعود، آبختی گروسی، هوشنگ، خائفی، ندا، (۱۳۹۳). تحلیل الگوهای سری زمانی بارش در ایستگاه هواشناسی خوی. فصلنامه فضای جغرافیایی، سال چهاردهم، (۴۷)، ۱-۱۷.
- نبوی‌زاده، معصومه، (۱۳۹۲). پیش‌بینی بارش روزانه با شبکه عصبی مصنوعی در استان کرمان، پایان‌نامه کارشناسی ارشد، کمال امیدوار، گروه جغرافیا، پردیس علوم انسانی و اجتماعی، دانشگاه یزد.
- Astine, ON. (2001) . Forecasting seasonal rainfall for agricultural decisionmaking in northern Nigeria. *Agricultural and Forest Meteorology*, Vol 3, PP: 193-205.
- Borland, P.; and Montana, A. (1996). Forecasting of storm rain full by combined use of rider, rain gages and linear models, *Atmospheric research*. 42: 199-216.
- Carlos, H.; Fajardo, T. Silvana, J. Galvez, F. (2013). A hybrid artificial intelligence model for river flow forecasting. *Applied Soft Computing*, In Press, Uncorrected Proof.
- Chang, X. G, M. Wang, Y. and Hou, X. (2001). Seasonal Autoregressive Integratedmoving average model for Precipitation time series. *Journal of Mathematics and Statistics*, Vol.8, No.4: 500-505.
- Choi, L. (1999). An application hy droinformatic tools for rainfall forecasting Phd thesis, University of New South Wales (Australia)

- Dahamsheh, Ahmad. Hafzullah, Aksoy. (2009). Artificial neural network models for forecasting intermittent monthly precipitation in arid regions, Royal Meteorology Society, No. 16, pp.325-337.
- Damle C, Yalcin A. (2007). Flood prediction using time series data mining. Journal of Hydrology. 333, (2-4): 305-316.
- Durdo F. (2010). A hybrid neural network and ARIMA model for water quality time series prediction. Engineering Applications of Artificial Intelligence. 23: 586-594.
- Halid H.; and Ridd P. (2002). Modeling Inter-Annual Variation of a Local Rainfall Data Using a Fuzzy Logic Technique, Proceeding of International Forum on Climate Prediction, James Cook University, Australia. First Proof Pages, pp: 166-170.
- Hasanah Y., Herlina M. (2013). Flood Prediction using Transfer Function Model of Rainfall and Water Discharge Approach in Katulampa Dam. Procedia Environmental Sciences 17: 317-326.
- Hastenrath S., Greischar L, & van Heerden, J. (1995). Prediction of the summer rainfall over South Africa. Journal of Climate, 8(6), 1511-1518.
- Kaushik I., and Singh S.M. (2008). Seasonal ARIMA model for forecasting of monthly rainfall and temperature, Journal of Environmental Research and Development. Vol.3, No.2: 506 -514. Journal of Climate, 8, 1511-1518.
- Lohani A, K, Kumar R., Singh R, D. (2012). Hydrological time series modeling: A comparison between adaptive neuro-fuzzy, neural network and autoregressive techniques original Research Article. Journal of Hydrology. Volumes 442-443, pages 23-35.
- Maria C.; Haroldo F., Ferreira N. (2005). Artificial Neural Network Technique for Rainfall Forecasting Applied to the Sao Paula Region, Journal of hydrology, Vol 301, PP:1-4.
- Mishra A.K.; and Desai V.R. (2005). Drought forecasting using stochastic models, Stochastic Environmental Research and Risk Assessment, Vol.19, No.5: 326-339.
- Murthy K. N.; Saravana R., & Kumar K. V. (2018). Modeling and forecasting rainfall patterns of southwest monsoons in North-East India as a SARIMA process. Meteorology and Atmospheric Physics, 130(1), 99-106.
- Nastos P.T.; Moustis K.P., Larissi I.K. & Paliatsos, A.G. (2013). Rain intensity forecast using Artificial Neural Networks in Athens, Greece. Atmospheric Research 119, 153 – 160.
- Partal T.; Kahya E. (2006). Trend analysis in precipitation data Hydrological processes. Wiley InterScience, (20):2011-2026.
- Piotrowski A, Napiórkowski J., Rowiński P.M. (2006). Flash-flood forecasting by means of neural networks and nearest neighbour approach a comparative study. Nonlinear Processes in Geophysics, (13): 443-448.
- Rezaei M, Ali Akbari Motlaq A, Rezvani Mahmouei A, Mousavi S, River Flow Forecasting using artificial neural network (Shoor Ghaen), Ciência e Natura, Santa Maria, v. 37 Part 1 (2015), p. 207-215. in Persian
- Tokar A.S, Santon P.A. (1999). Rainfall-Run off modeling using artificial neural networks, Journal of Hydrologic Engineering, No.3, pp.232-239.
- Www.Climatology.ir
- Yaya O. S, & Fashae O. A, (2015). Seasonal fractional integrated time series models for rainfall data in Nigeria. Theoretical and Applied Climatology, 120(1-2), 99-108.